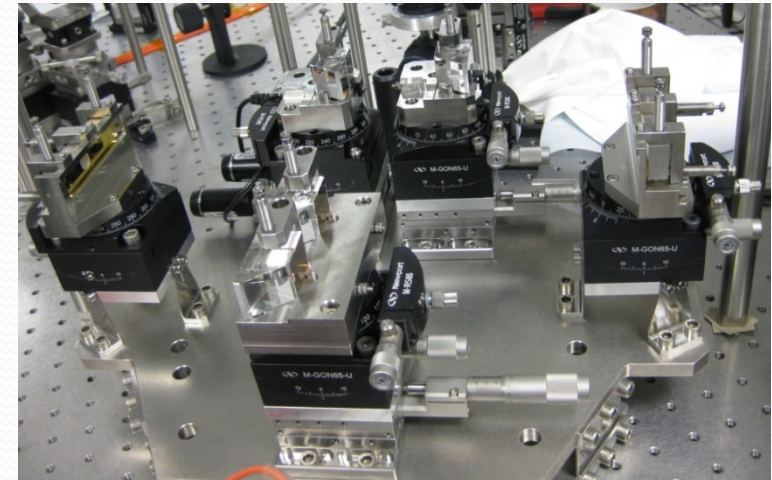
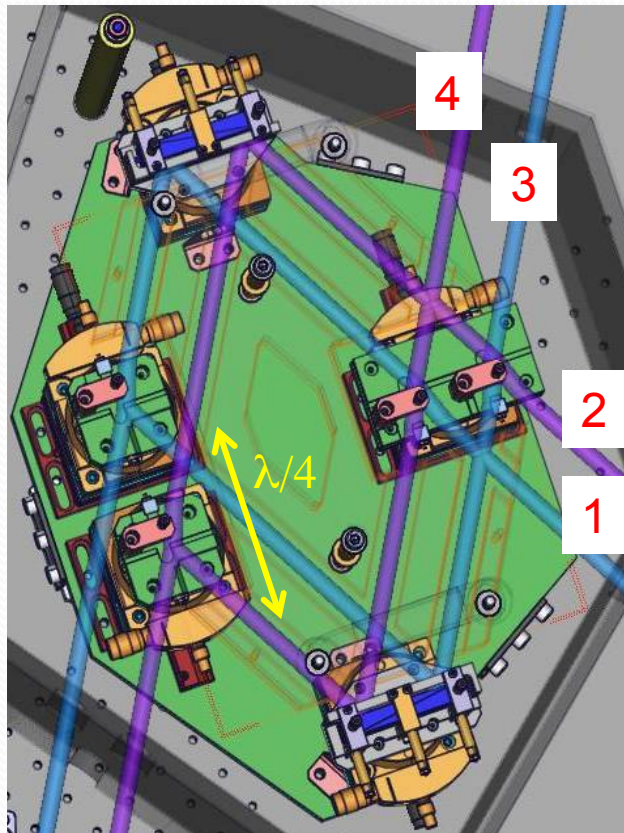




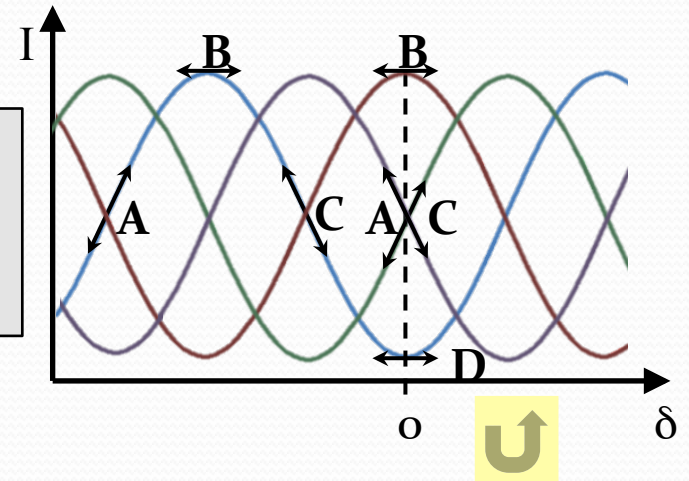
Main bench - MMZ

- Mach-Zehnder Modifié
 - 2 entrées - 4 sorties, AOI=30°
 - Recombinaison symétrique + optimisation des lames pour la sortie dark
- Principales difficultés: stabilité et dérive thermique



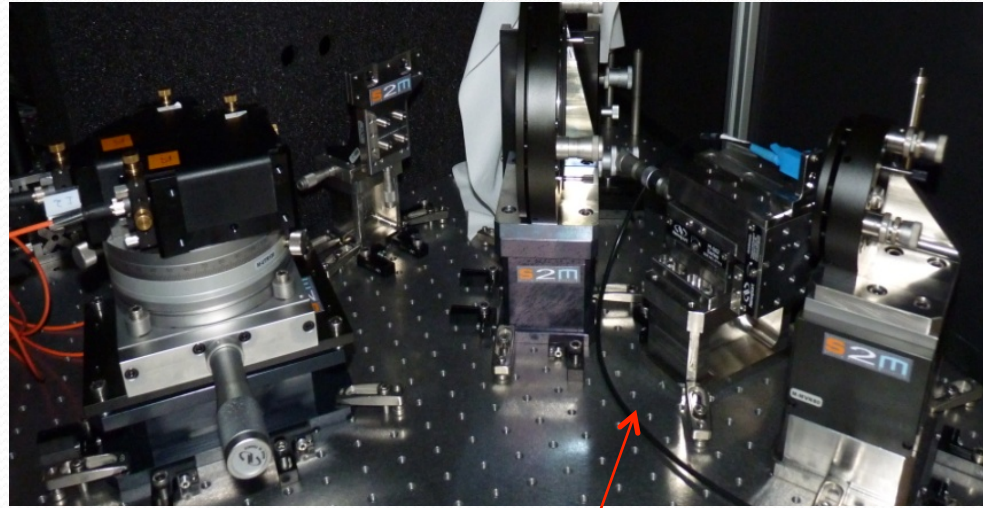
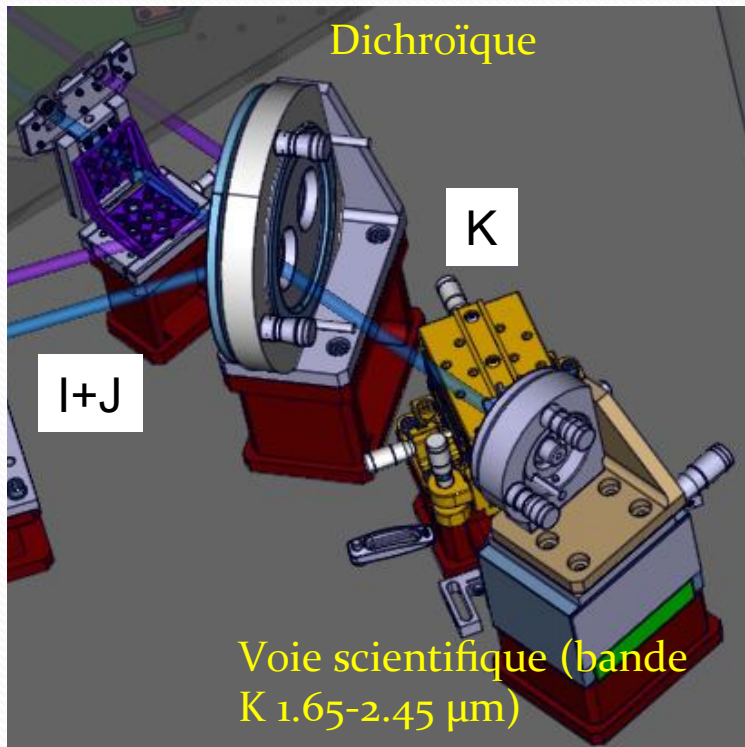
Modulation ABCD=> quadrature de phase

I : A ou C, I et J
II : frange blanche (B), IJK
III : frange noire (D), IJK
IV : A ou C, I et J





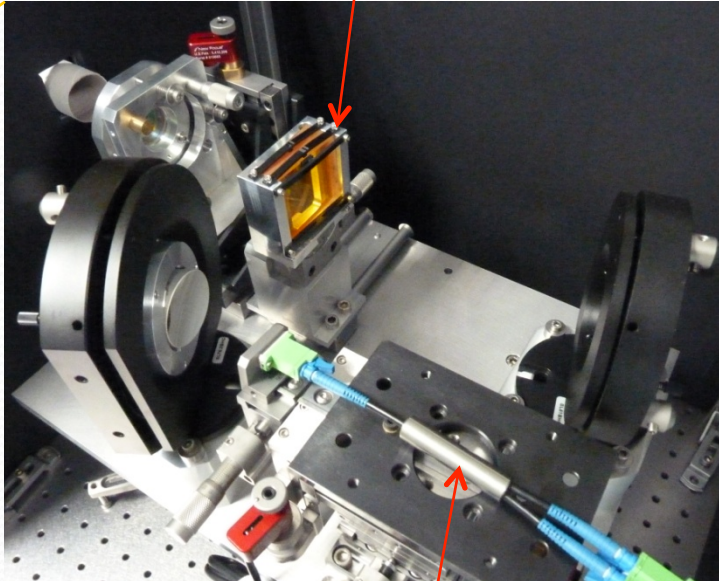
Main bench - Dark channel





Detection bench

Biprisme: 9 canaux, de $1.65\mu\text{m}$ à $2.45\mu\text{m}$



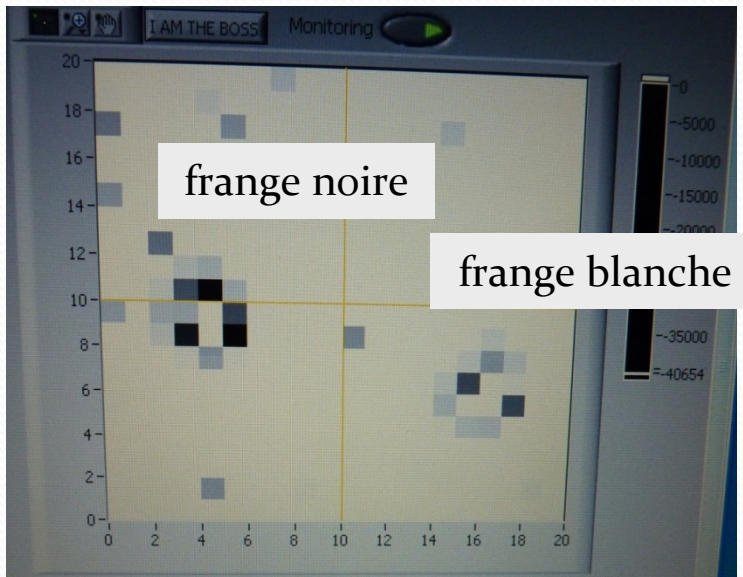
Toron de fibres à $125\mu\text{m}$



Detection bench

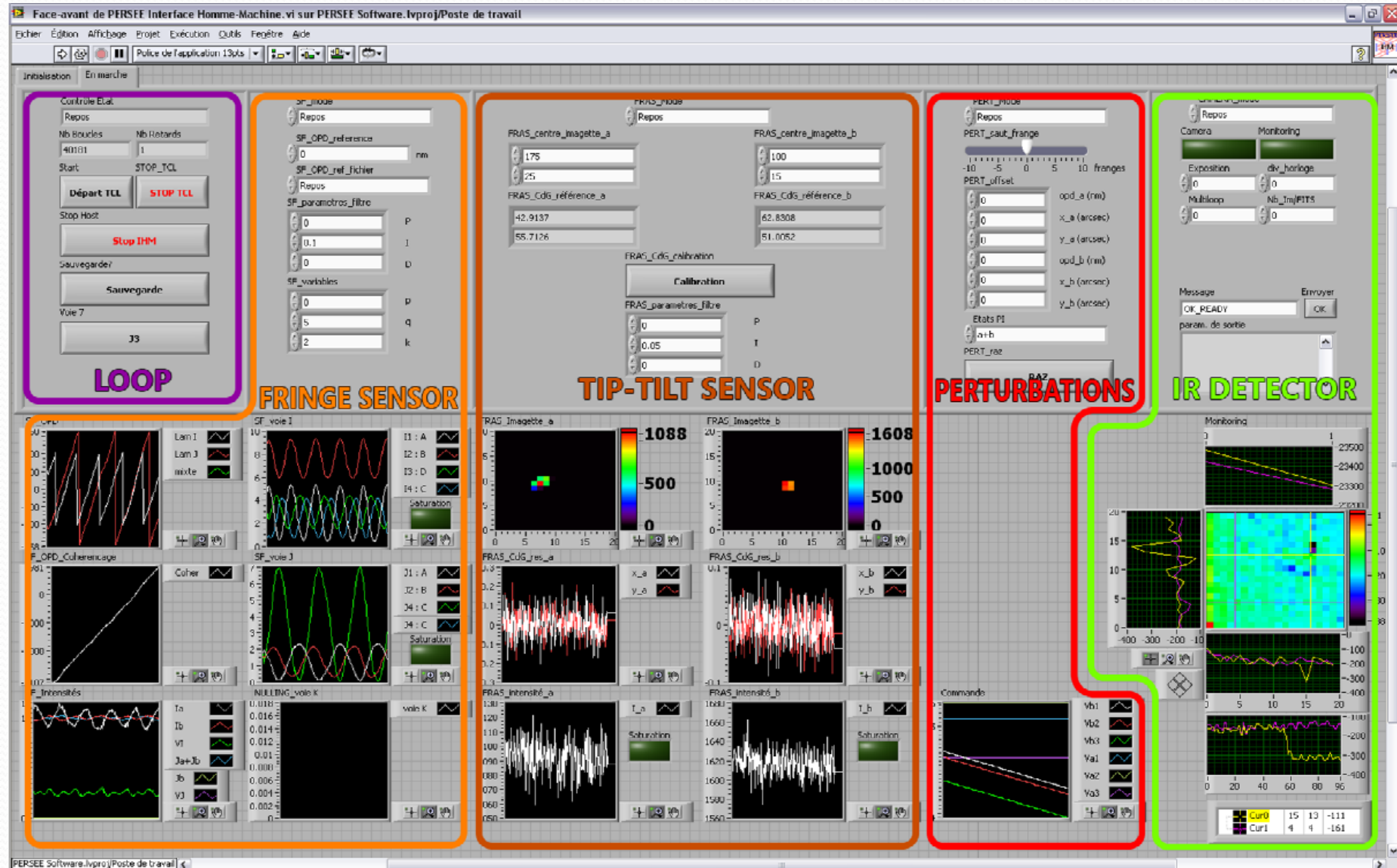
IR camera (LESIA development)

- LN2 (77K) automatic cooling
- Ethernet communication
- Filter wheel
- PICNIC detector
- 4 quadrants of 128 x 128 pixels (40µm)
- 16 bits, RON @ 250kHz: 18 e-





User interface



Performances et résultats de PERSEE



Outline

Caractérisation

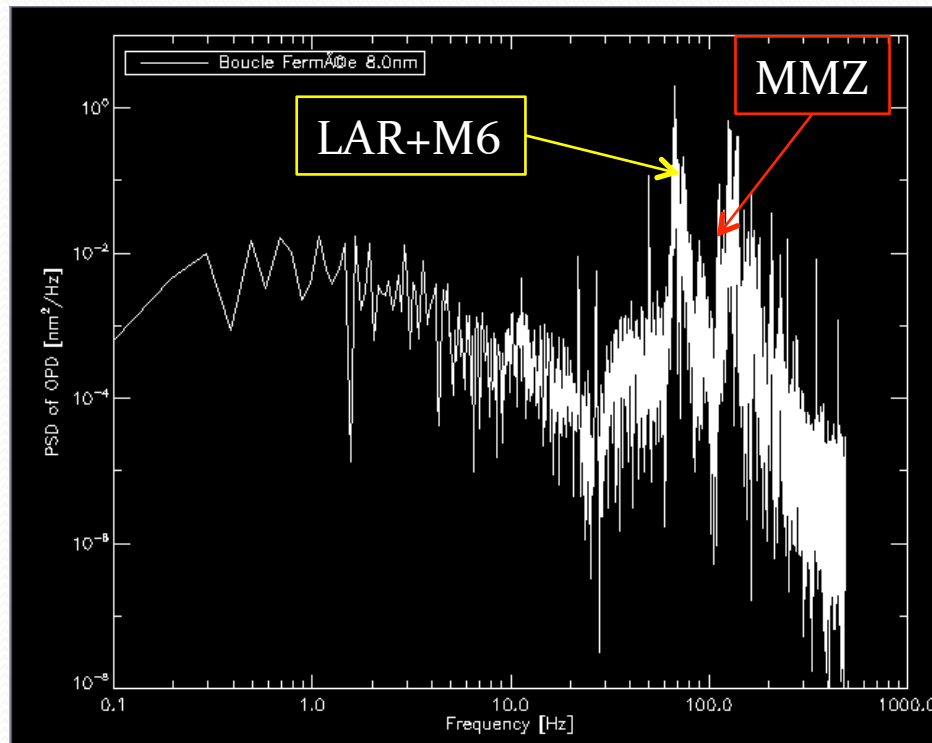
Performances des boucles de contrôle et du taux de nulling

Améliorations: filtre Kalman + commande LQG

Conclusion et perspectives

Caractérisation

Caractérisation du banc => étude fréquentielle et analyse des vibrations



Contributeurs:

- Électronique** => pic @ 50Hz
- Mécanique**: M6, LAR, MMZ
- Acoustique**: clim & surpression sur la même dalle
- Sismique**: table sur coussins d'air
- Thermique**: dérive du MMZ sur plusieurs heures (600nm/°C)
- Turbulence**: soufflerie au dessus du banc

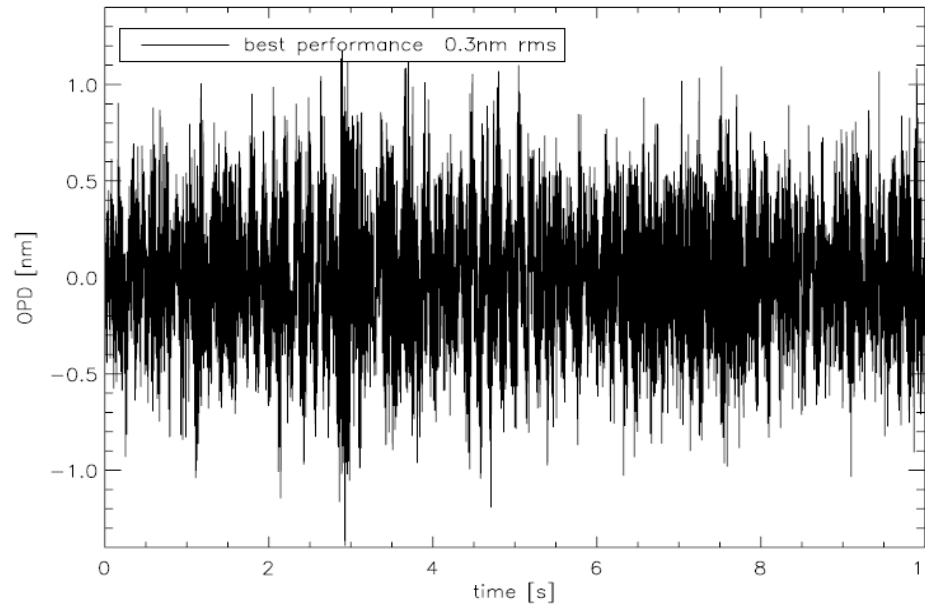
Solutions:

- ⇒Déport des électroniques
- ⇒Capotage spécial
- ⇒Eteindre clim & surpression pendant les mesures

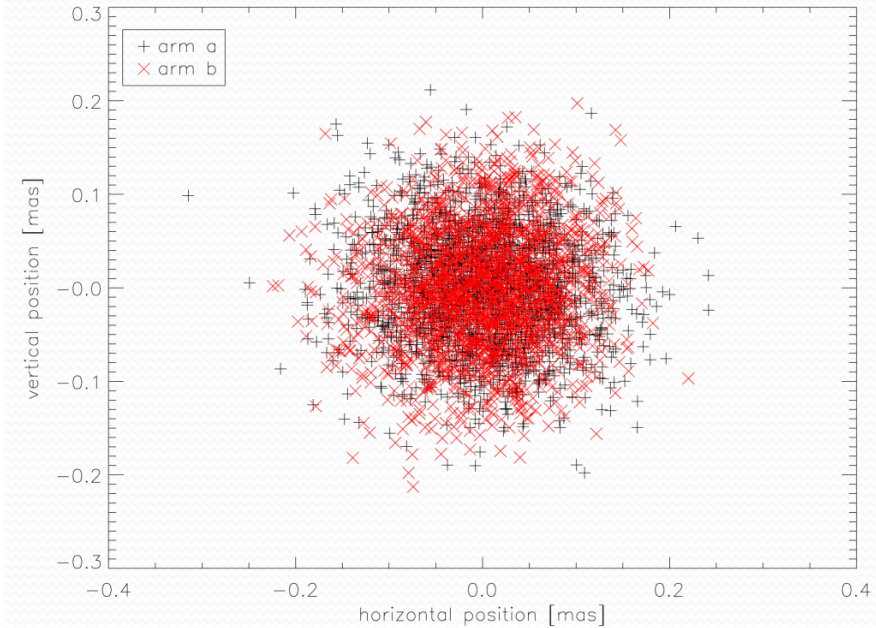


Loops performances

- En différence de marche
 - Spécifié à 1 nm rms
 - Meilleur résidu obtenu :
 $\sigma_\delta = 0,3 \text{ nm rms}$
 $= \lambda/6700 @ 2 \mu\text{m}$



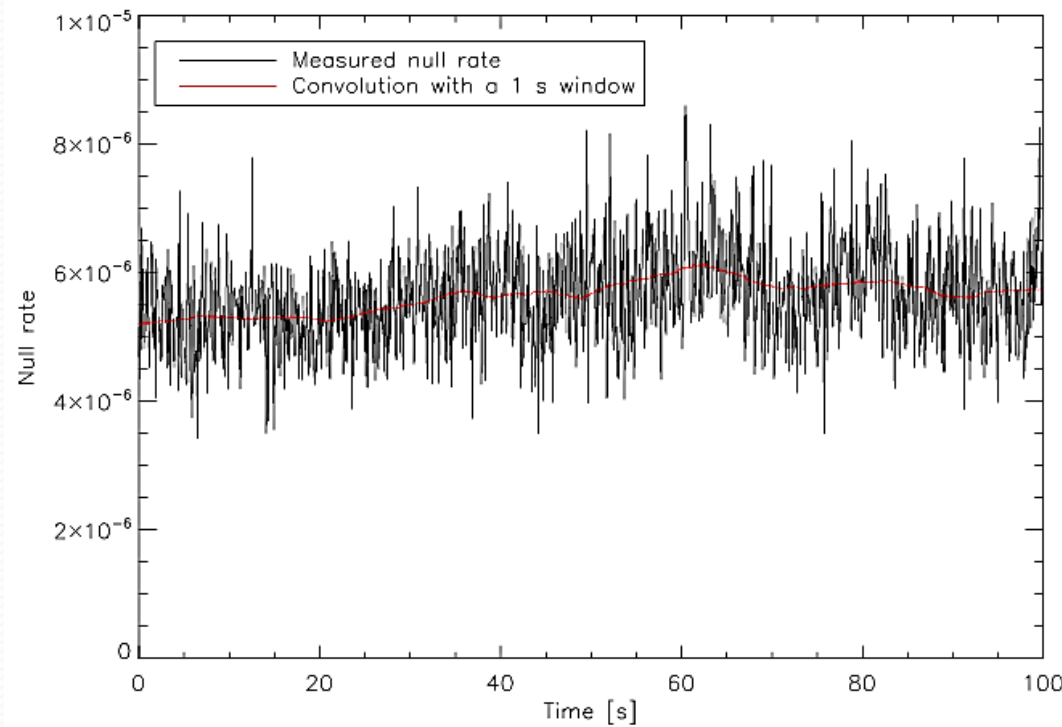
- En tip/tilt
 - Spécifié à 100 mas rms
 - Meilleur résidu obtenu :
 $\sigma_{\text{tip/tilt}} = 56 \text{ mas rms}$
 $= 0,4 \% \text{ de la tache d'Airy}$





Nulling performances

Monochromatic and polarized light ($2.3\mu\text{m}$): $5.6 \times 10^{-6} \pm 2 \times 10^{-7} \ll 10^{-4} \pm 10^{-5}$



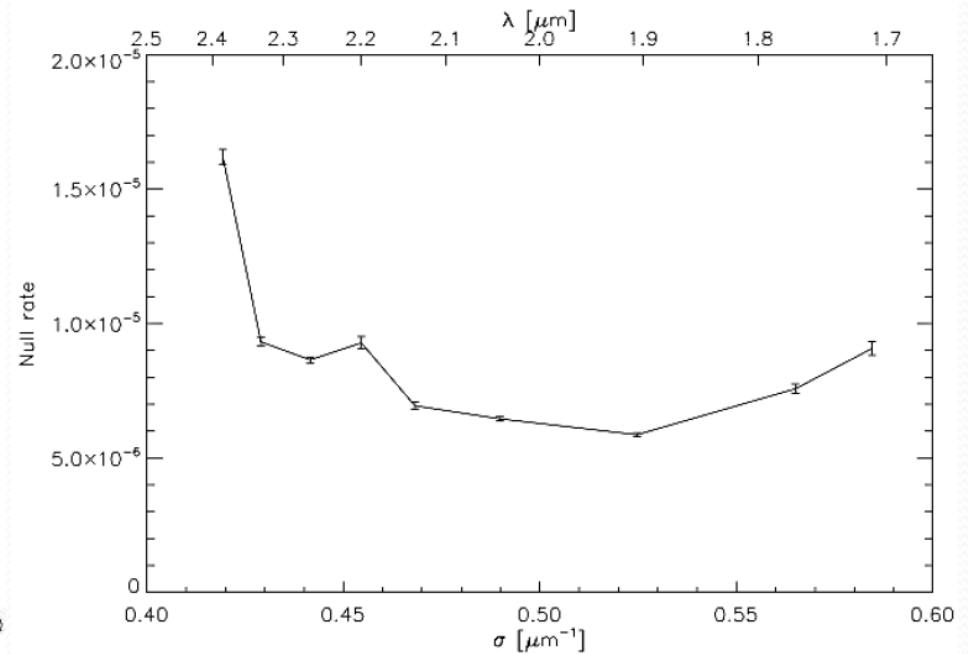
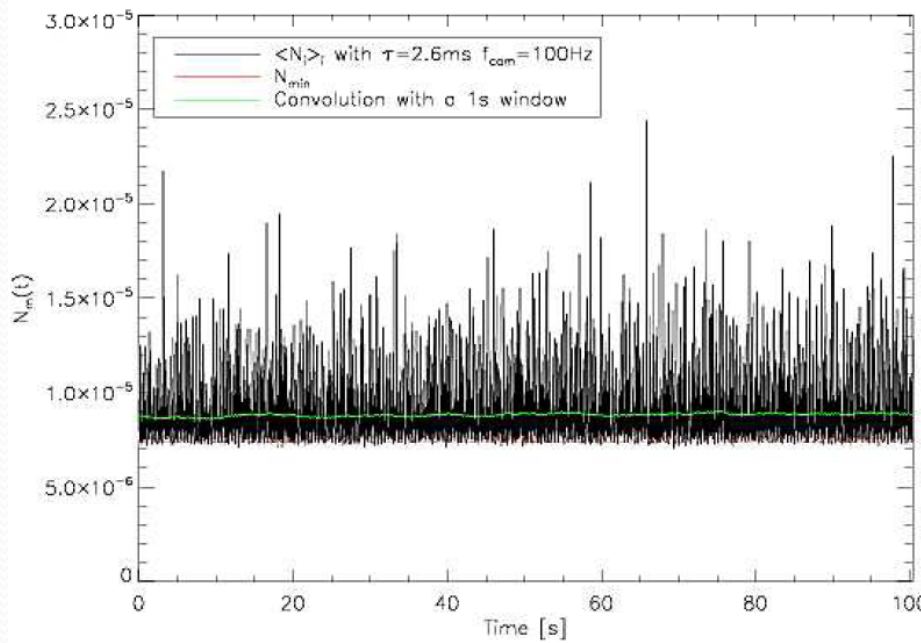


Nulling performances

Polychromatic and non-polarized light: $8.8 \times 10^{-6} \pm 1.5 \times 10^{-6}$ $\ll 10^{-4} \pm 10^{-5}$

Spectral band: [1.65-2.45]μm (~40% width)

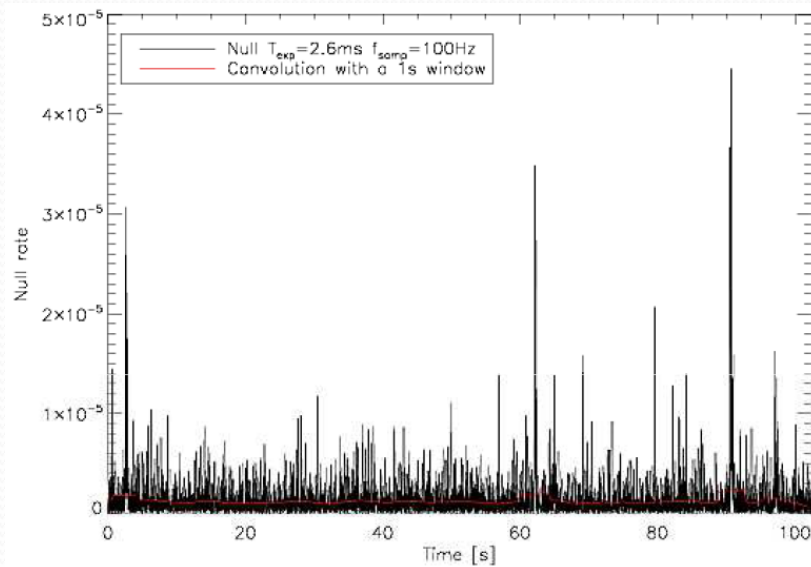
- Stabilized over 100s (validated over 7h thanks to automatic calibration process)
- no perturbation injected, quiet lab environment (no machines, under enclosure...)



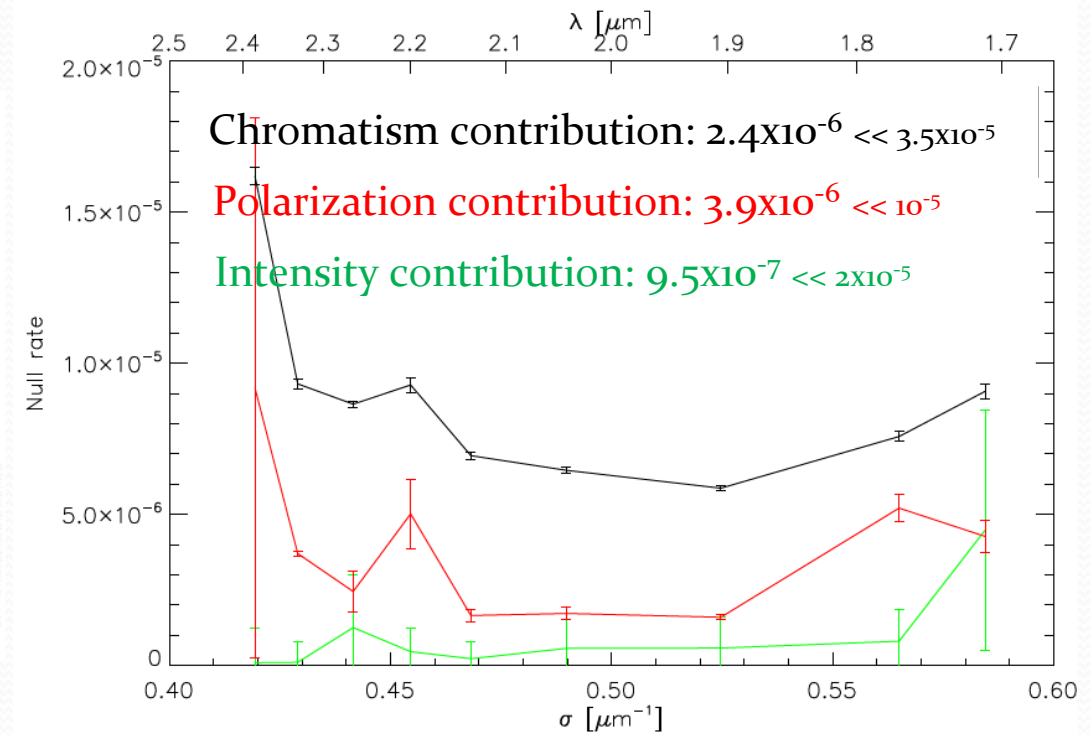


Nulling performances

- OPD noise (LQG in closed loop, 1kHz): **0.74nm rms** << 1nm rms
- Tip/Tilt noise (integrator in closed loop, 200Hz): **65 mas rms** << 100mas rms
- Intensity mismatch: **0.1% rms** << 1% rms

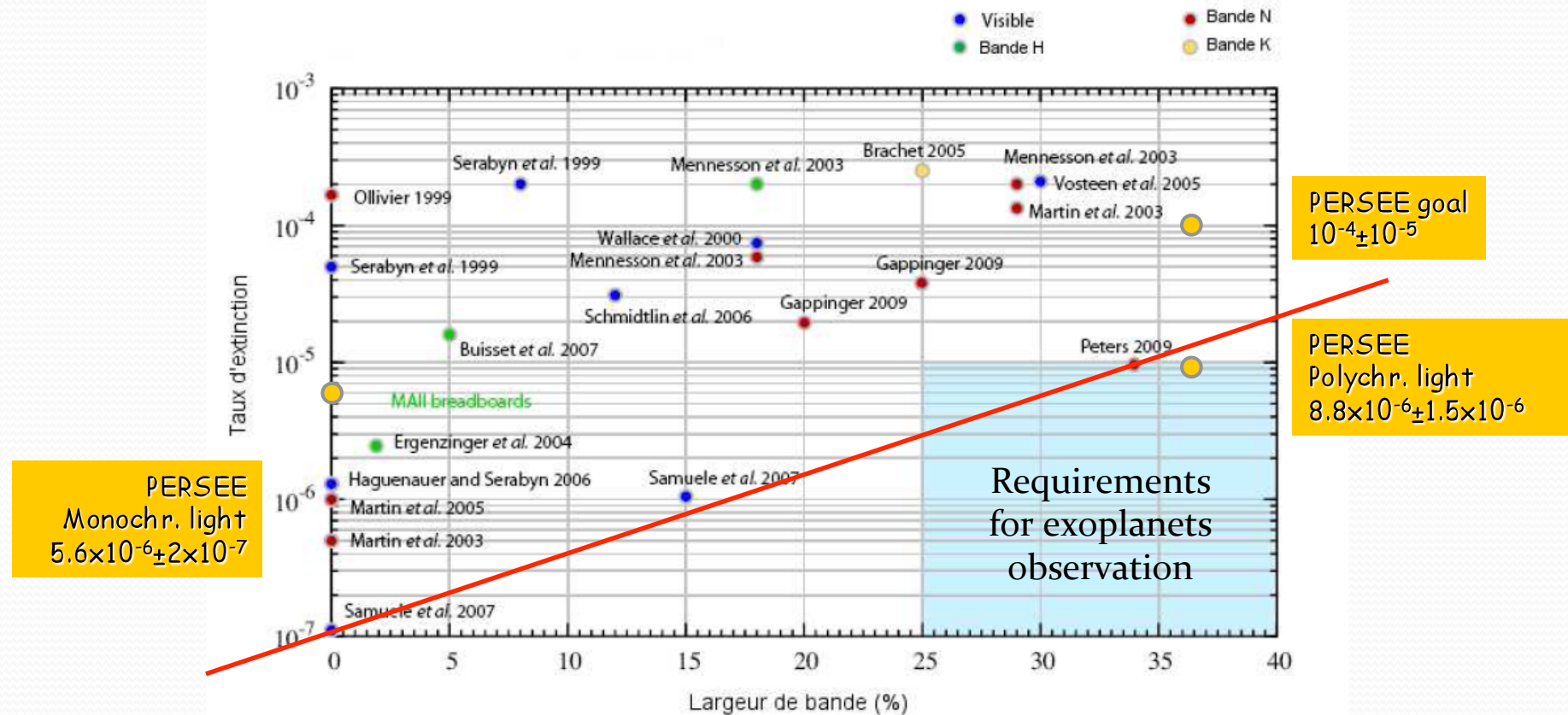


OPD contribution: $1.4 \times 10^{-6} << 3.5 \times 10^{-5}$





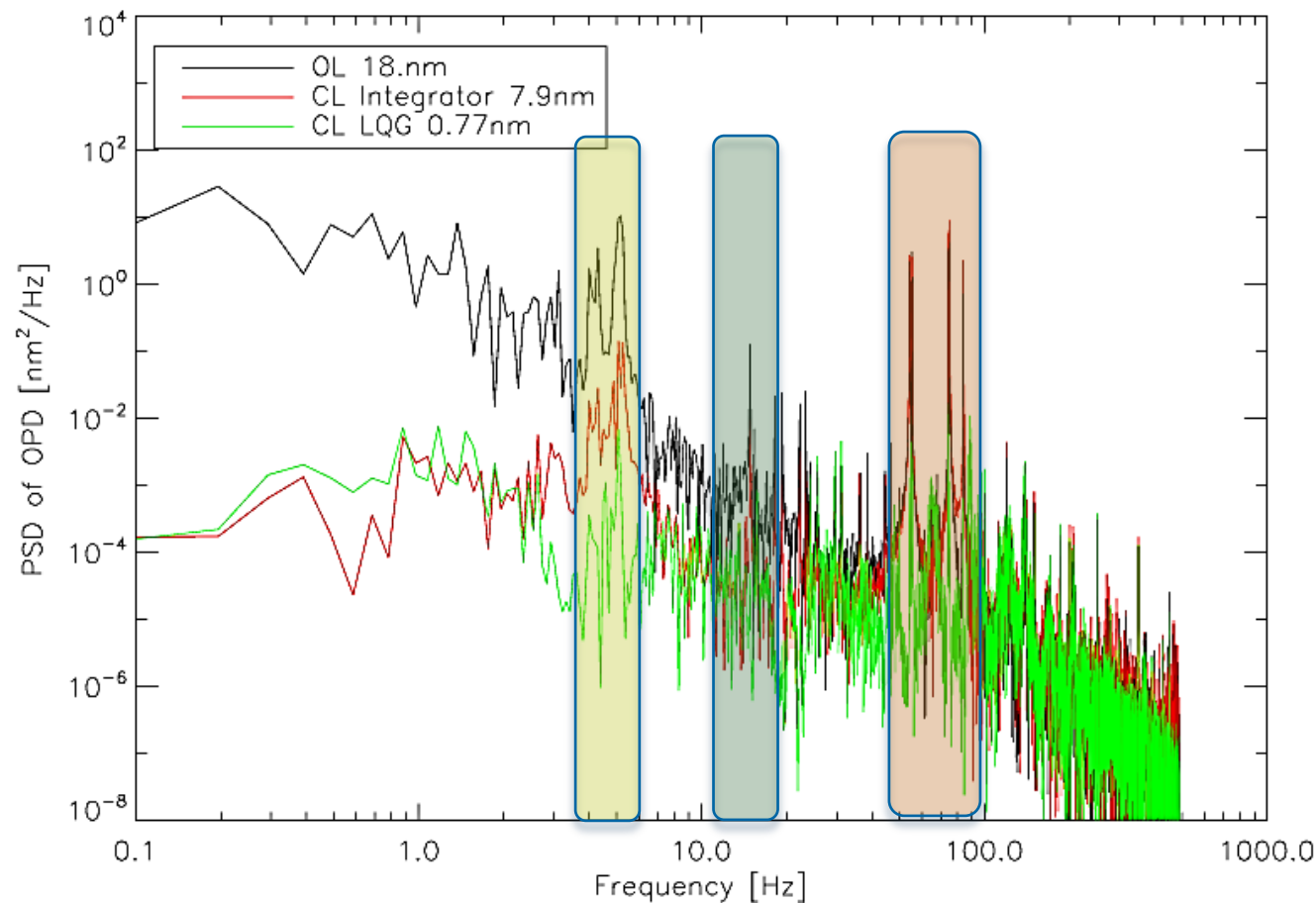
Worldwide performances





Injection of calibrated noise

Injection of calibrated OPD noise + LQG controller (*Linear Quadratic Gaussian*) coupled with a Kalman filter (AO heritage) for correction.



GNC (TAS study):

Wheel speed:
4.5Hz

Solar array:
15Hz

Siderostat:
55-75-85Hz

Nulling ratio:

- Goal: 10^{-4}
- Integrator: 8.5×10^{-5}
- LQG: 1.1×10^{-5}



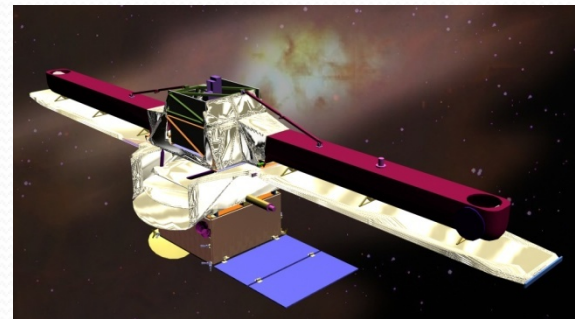
Conclusions and perspectives

Already done

- PERSEE achieves very efficient polychromatic null in non-polarized light
- LQG control loop maintains OPD at less than 1nm rms in presence of representative disturbances induced by reaction wheels (high frequency) with a significant amplitude

Still to be done

- Fringes acquisition with a initial drift speed ($150\mu\text{m/s}$) → *in progress*
- Simulated complex targets (star + faint planet + exozodi) → *PhD starting*
- Simulation of FKSI disturbances → *coming soon ?*



Exploitation en cours

